

## 熔融法制备纳米管 Li-Ti-O 化合物及其表征

裴先茹 王晓冬 张顺利\* 张经纬 杨建军 金振声\*

(河南大学特种功能材料重点实验室, 开封 475001)

**摘要:** 在熔融的  $\text{LiNO}_3$  中, 以纳米管钛酸钠为母体进行锂-钠离子交换, 制得了具有高表面积的纳米管 Li-Ti-O 化合物( $198.6 \text{ m}^2 \cdot \text{g}^{-1}$ )。XRD、XPS、TG 表征结果表明: 此纳米管 Li-Ti-O 化合物包含两种晶型物质, 即立方尖晶石结构的  $\text{Li}_2\text{Ti}_2\text{O}_4$  和锐钛矿结构的  $\text{Li}_x\text{TiO}_2(x<0.1)$ ,  $\text{Li}^+$ 在这两种晶型物质中的结合能不同; 在空气中此纳米管 Li-Ti-O 化合物具有较强的吸水性, 化学吸附水在高于 400 °C 时才开始脱附。

**关键词:** 纳米管钛酸钠; 纳米管 Li-Ti-O 化合物; 熔融法; Li 电极材料

中图分类号: O614.111; O614.41<sup>+1</sup> 文献标识码: A 文章编号: 1001-4861(2006)12-2135-06

## Preparation and Characterization of Nanotube Li-Ti-O by Molten Salt Method

PEI Xian-Ru WANG Xiao-Dong ZHANG Shun-Li\* ZHANG Jing-Wei  
YANG Jian-Jun JIN Zhen-Sheng\*

(*Laboratory of Special Functional Materials, Henan University, Kaifeng, Henan 475001*)

**Abstract:** Nanotube Li-Ti-O compound with high surface ( $198.6 \text{ m}^2 \cdot \text{g}^{-1}$ ) was prepared by the method of treating nanotube  $\text{Na}_2\text{Ti}_2\text{O}_5 \cdot \text{H}_2\text{O}$  in molten  $\text{LiNO}_3$  and characterized by means of TEM, EDS, XRD, XPS and TG. The results show that the nanotube Li-Ti-O compound prepared by this method involves two crystal phases. One is spinel  $\text{Li}_2\text{Ti}_2\text{O}_4$  and another is anatase  $\text{Li}_x\text{TiO}_2$  ( $x<0.1$ ).  $\text{Li}^+$  exhibits different  $\text{Li}^{1s}$  binding energy in the two crystal phases. In ambient air it adsorbs water easily. The chemical adsorbed water is difficult to remove below 400 °C.

**Key words:** nanotube  $\text{Na}_2\text{Ti}_2\text{O}_5 \cdot \text{H}_2\text{O}$ ; nanotube Li-Ti-O compound; molten method; Li-electrode material

## 0 引言

自从 Sony 再充电式 C/LiCoO<sub>2</sub> 电池诞生以来, 已经开发出许多以 LiCoO<sub>x</sub>、LiMn<sub>2</sub>O<sub>4</sub> 和 LiNiO<sub>x</sub> 为正极材料(positive electrode material), 石墨为负极材料(negative electrode material) 的 Li 离子电池体系<sup>[1,2]</sup>。为了克服石墨负极材料存在的不足之处(如: 初始容量损失, 结构变形, 比表面积小等)<sup>[3,4]</sup>, 目前一些过渡金属氧化物(如 WO<sub>3</sub>, MoO<sub>3</sub>, TiO<sub>2</sub>)材料正在研究中<sup>[3,5-7]</sup>, 其中以 TiO<sub>2</sub> 为基础的 Li-Ti-O 系列化合物是

较有希望的候选者<sup>[8,9]</sup>。

Li-Ti-O 系列包含各种化学计量和非化学计量的化合物(stoichiometric and nonstoichiometric compound), 它们的晶型各异, 并有各种制备方法。Cava 等用中子衍射法测定了正丁基锂与 TiO<sub>2</sub>(锐钛矿)反应产物的结构: 在 Li 插入 TiO<sub>2</sub> 生成  $\text{Li}_{0.5}\text{TiO}_2$  时, 宿主晶胞向正交相(orthorhombic)扭曲(锐钛矿 TiO<sub>2</sub> 的晶胞参数为  $a=0.3784 \text{ nm}$ ,  $b=0.3784 \text{ nm}$ ,  $c=0.9515 \text{ nm}$ ,  $\text{Li}_{0.5}\text{TiO}_2$  的晶胞参数为  $a=0.3808 \text{ nm}$ ,  $b=0.4076 \text{ nm}$ ,  $c=0.9053 \text{ nm}$ ),  $\text{Li}_{0.5}\text{TiO}_2$  在 500 °C 以上加热后,

收稿日期: 2006-04-11。收修改稿日期: 2006-07-02。

国家自然科学基金(No.20071010)资助项目。

\*通讯联系人。E-mail: zhenshengjin@henu.edu.cn

第一作者: 裴先茹, 女, 31岁, 硕士研究生; 研究方向: 无机纳米材料制备。

可得到尖晶石结构的  $\text{LiTi}_2\text{O}_4$  ( $a=0.840\text{3 nm}$ )， $\text{LiTi}_2\text{O}_4$  在室温下与正丁基锂可进一步反应生成  $\text{Li}_2\text{Ti}_2\text{O}_4$ ，但其尖晶石结构保持不变 ( $a=0.837\text{6 nm}$ )<sup>[10,11]</sup>。Wagemaker 等用 X-射线衍射法测定了正丁基锂与  $\text{TiO}_2$  (锐钛矿) 反应产物  $\text{Li}_x\text{TiO}_2$  的结构，当  $x<0.6$  时，锐钛矿和钛酸锂两相共存， $x=0.7$  时，全部锐钛矿相转变为钛酸锂结构<sup>[12]</sup>。Fattakhova 等以  $0.6\text{ mol}\cdot\text{L}^{-1}$   $\text{LiOH}$  与  $\text{TiO}_2$  (P25, Degussa) 在  $120\sim200\text{ }^\circ\text{C}$  高压釜中进行水热合成，获得尖晶石型  $\text{Li-Ti-O}$  化合物，利用 XRD 和  $^7\text{Li}$  MAS NMR 研究，组成为  $\text{Li}_{1+x}\text{Ti}_{2-x}\text{O}_{4+\delta}$  ( $x=0\sim1, \delta=0.3$  或  $0.5$ )<sup>[13,14]</sup>。岩盐型  $\text{LiTiO}_2$  与尖晶石型  $\text{LiTi}_2\text{O}_4$ 、 $\text{Li}_4\text{Ti}_5\text{O}_{12}$  均属面心立方晶系，但两者的晶胞参数各异。岩盐型  $\text{LiTiO}_2$  通常采取高温烧结和高温电化学合成方法制备，如：Lecerf 在  $1000\text{ }^\circ\text{C}$ ，用  $\text{Ti}_2\text{O}_3$  与  $\text{Li}_2\text{O}$  反应制得  $\text{LiTiO}_2$  ( $a=0.414\text{0 nm}$ )<sup>[15]</sup>；Jiang 等在  $700\text{ }^\circ\text{C}$  熔融的  $\text{LiCl}$  中对  $\text{TiO}_2$  (锐钛矿) 进行电解，电压在  $3.2\text{ V}$  和  $2.0\text{ V}$  之间，产物为岩盐型的  $\text{LiTiO}_2$ ，电压低于  $1.8\text{ V}$ ，产物为尖晶石型的  $\text{LiTi}_2\text{O}_4$ <sup>[16]</sup>。

电极材料的比表面积是控制电子进入和离开电极速度的重要参数，由于石墨比表面积小(约为  $3\text{ m}^2\cdot\text{g}^{-1}$ )，以石墨为负极材料制成的  $\text{Li}$  离子电池，不适合用于需要瞬间强电流的设备<sup>[4]</sup>。目前，大比表面积的纳米  $\text{Li-Ti-O}$  化合物的合成和性能研究已引起人们的重视，如：Zhang 等以氢钛酸盐(H-titanate)纳米管和线与  $\text{LiOH}$  水溶液进行交换反应，获得一维尖晶石结构的  $\text{Li}_4\text{Ti}_5\text{O}_{12}$ ，分别具有  $238$  和  $127\text{ m}^2\cdot\text{g}^{-1}$  比表面积和良好的电化学性质<sup>[17]</sup>；Gao 等以锐钛矿纳米棒(比表面积为  $314\text{ m}^2\cdot\text{g}^{-1}$ )<sup>[18]</sup>；Zhang 等以氢钛酸盐纳米管(比表面积为  $331\text{ m}^2\cdot\text{g}^{-1}$ )<sup>[19]</sup>作为  $\text{Li}$  嵌入宿主，进行了电化学表征，显示出它们具有很好的应用前景。本文报道以纳米管钛酸钠(nanotube  $\text{Na}_2\text{Ti}_2\text{O}_5\cdot\text{H}_2\text{O}$ )为前驱体，与熔融  $\text{LiNO}_3$  进行锂-钠离子交换，成功地制得了纳米管  $\text{Li-Ti-O}$  化合物，并对其进行了分析和表征。

## 1 实验部分

### 1.1 纳米管钛酸钠的制备<sup>[20]</sup>

在聚四氟乙烯烧杯中，将  $4\text{ g}$   $\text{TiO}_2$  粉末(锐钛矿型，浙江明日纳米材料有限公司产)边搅拌边加入到  $150\text{ mL}$  的  $10\text{ mol}\cdot\text{L}^{-1}$  的  $\text{NaOH}$ (天津南开化工厂产，分析纯)浓溶液中，待  $\text{TiO}_2$  粉末均匀的分散在  $\text{NaOH}$  浓溶液中后，再将此悬浮液小心地移入聚四氟乙烯烧瓶中，在  $120\text{ }^\circ\text{C}$  油浴中，恒温磁搅拌反应  $24\text{ h}$ ，自

然冷却至室温，待固体沉淀物沉降后，倾去上清液，用三次蒸馏水将固体沉淀物洗至  $\text{pH}=12.5$ ，过滤、干燥即得纳米管钛酸钠。

### 1.2 纳米管 $\text{Li-Ti-O}$ 化合物的制备

将  $2\text{ g}$  纳米管钛酸钠粉末与  $12\text{ g}$   $\text{LiNO}_3$ (天津市科密欧化学试剂开发中心产)混合均匀后，加入小烧瓶中，在砂浴内加热至  $260\text{ }^\circ\text{C}$ ( $\text{LiNO}_3$  熔点为  $253\text{ }^\circ\text{C}$ )，恒温反应一定时间后，自然冷却至室温，再用三次蒸馏水溶去硝酸锂(用  $1\%$  的二苯胺浓硫酸溶液检验硝酸根是否被完全除去)，过滤、干燥，即得纳米管  $\text{Li-Ti-O}$  化合物。纳米管  $\text{Li-Ti-O}$  化合物的  $500\text{ }^\circ\text{C}$  空气处理是在管状炉中完成。

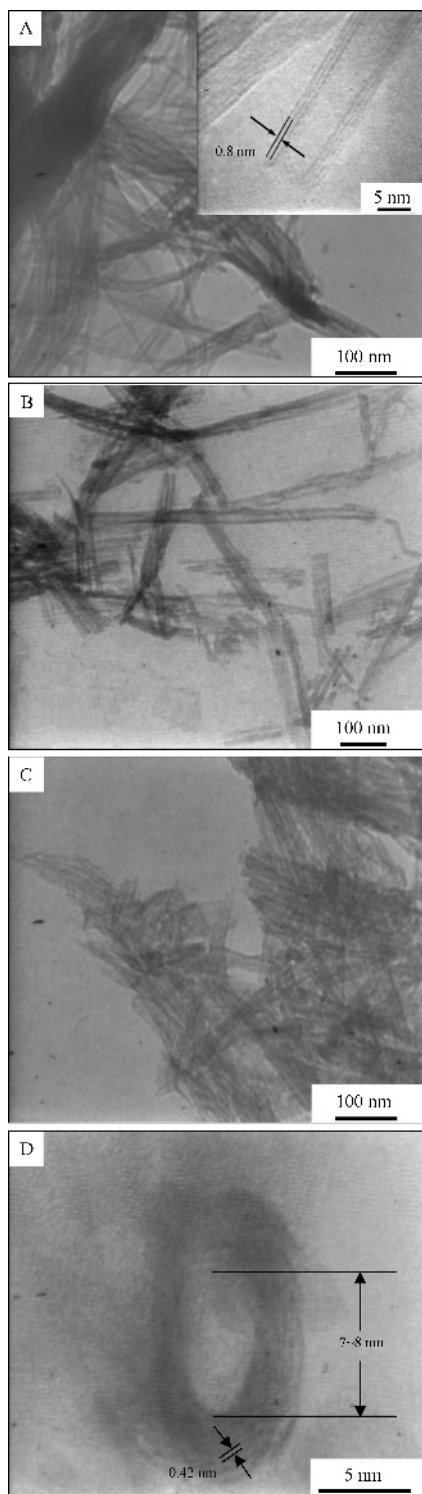
### 1.3 样品的表征

采用 JEM2010 型电子显微镜(TEM)测定样品的形貌(加速电压为  $200\text{ kV}$ )，能量色散分析(EDS)在日本电子的 SEM-5600LV 扫描电镜配 X-射线能谱仪(英国 OXFORD 公司)获得(加速电压  $30\text{ kV}$ )。在 ASAP2010 比表面积测定仪上测定比表面积和孔分布。用 Philips X'Pert Pro X-射线衍射仪(XRD)分析产物的晶型(采用  $\text{Cu K}\alpha$  辐射源， $\lambda=0.154\text{05 nm}$ ，电压  $40\text{ kV}$ ，电流  $40\text{ mA}$ )，在 Axis Ultra 型 X 光电子能谱仪(XPS)上分析样品的原子价态和表面组成(采用通过能量  $40\text{ eV}$  的单色化  $\text{Al K}\alpha$  线做发射源，功率为  $150\text{ W}$ ，真空度是  $7.5\times10^{-11}\text{ Pa}$ ，选择空气中污染碳( $284.8\text{ eV}$ )作为参考内标)。用 Seiko TG/DTA6300 热分析系统测定样品的热重曲线(TG)和微分热重曲线(DTG)(空气气氛中，升温速率： $10\text{ }^\circ\text{C}\cdot\text{min}^{-1}$ )。

## 2 结果与讨论

### 2.1 形貌和组成

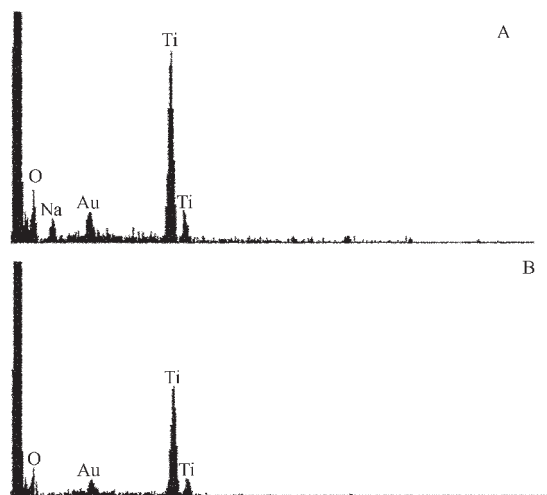
图 1A 为  $\text{Na}_2\text{Ti}_2\text{O}_5\cdot\text{H}_2\text{O}$  纳米管的 TEM，图 1B,C 分别为纳米管  $\text{Na}_2\text{Ti}_2\text{O}_5\cdot\text{H}_2\text{O}$  与熔融  $\text{LiNO}_3$  在  $260\text{ }^\circ\text{C}$  交换  $1.5\text{ h}, 7.5\text{ h}$  后，再经洗涤和干燥的产物 TEM 图；产物仍基本保持管状形貌，从图 1D 管头的 HRTEM 看，层-层之间界限较不清晰，层间距约为  $0.42\text{ nm}$ ，较  $\text{Na}_2\text{Ti}_2\text{O}_5\cdot\text{H}_2\text{O}$  纳米管层间距( $0.8\text{ nm}$ )减小约一半，管内径为  $7\sim8\text{ nm}$ ，较  $\text{Na}_2\text{Ti}_2\text{O}_5\cdot\text{H}_2\text{O}$  纳米管内径稍有增大(图 1A)。 $\text{Na}_2\text{Ti}_2\text{O}_5\cdot\text{H}_2\text{O}$  纳米管中的钠离子与熔融  $\text{LiNO}_3$  中的锂离子交换速度快，图 2 的 EDS 分析结果表明， $t=1.5\text{ h}$ ，交换产物中钠离子浓度已为零( $t=4.5\text{ h}, 7.5\text{ h}$ ，钠离子浓度均为零)。按图 3 吸附-脱附曲线求得其 BET 表面积为  $199\text{ m}^2\cdot\text{g}^{-1}$ ，平均孔径  $7.8\text{ nm}$ (与 HRTEM 测得的结果相近)。



A: nanotube  $\text{Na}_2\text{Ti}_2\text{O}_5 \cdot \text{H}_2\text{O}$ ; B: Li-Ti-O compound ( $t=1.5$  h); C: Li-Ti-O compound( $t=7.5$  h); D: HRTEM image of Li-Ti-O compound( $t=1.5$  h)

图 1 纳米管  $\text{Na}_2\text{Ti}_2\text{O}_5 \cdot \text{H}_2\text{O}$  和不同反应时间产物 (Li-Ti-O 化合物) 的 TEM 图

Fig.1 TEM images of nanotube  $\text{Na}_2\text{Ti}_2\text{O}_5 \cdot \text{H}_2\text{O}$  and the products (Li-Ti-O compounds) at different reaction time



A: nanotube  $\text{Na}_2\text{Ti}_2\text{O}_5 \cdot \text{H}_2\text{O}$ ; B: Li-Ti-O compound( $t=1.5$  h)(B)的 EDS 谱

Fig.2 EDS spectra of nanotube  $\text{Na}_2\text{Ti}_2\text{O}_5 \cdot \text{H}_2\text{O}$  (A) and Li-Ti-O compound ( $t=1.5$  h) (B)

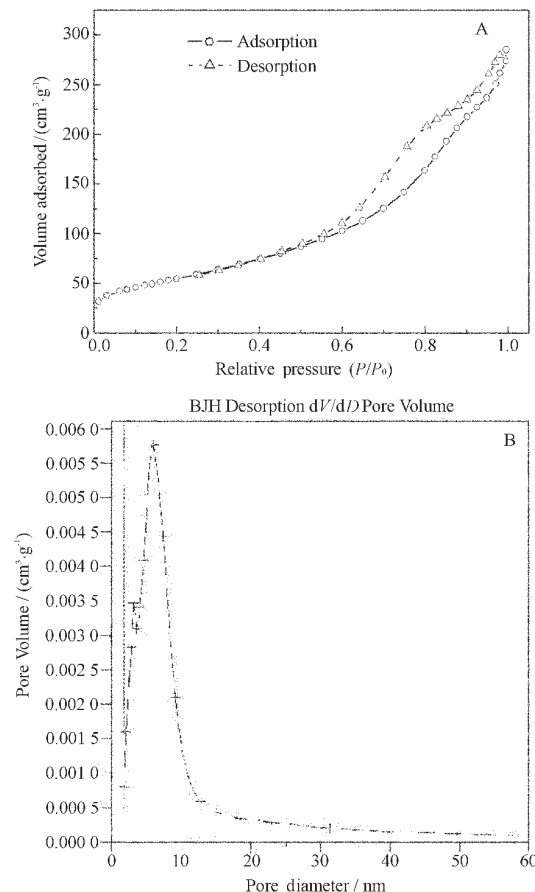


图 3 Li-Ti-O 化合物( $t=1.5$  h)的低温氮吸附-脱附等温线 (A)和 BJH 孔分布(B)

Fig.3 Low-temperature  $\text{N}_2$  adsorption-desorption isotherms (A) and BJH pore size distribution, (B) for Li-Ti-O compound( $t=1.5$  h)

## 2.2 所得产物的晶型

在锂-钠离子交换时, 纳米管晶型发生较大变化。图 4 为 260 °C 不同交换时间的 XRD 图, 纳米管  $\text{Na}_2\text{Ti}_2\text{O}_5 \cdot \text{H}_2\text{O}$  为正交晶型(orthorhombic)<sup>[20]</sup>, 而锂-钠离子交换产物包含两种晶型物质: 立方尖晶石结构(spinel)的  $\text{Li}_2\text{Ti}_2\text{O}_4$ <sup>[21]</sup> 和锐钛矿结构(anatase)的  $\text{Li}_x\text{TiO}_2$  ( $x < 0.1$ )<sup>[10, 12, 22]</sup>。当  $t$  延长时, 两种晶型的衍射峰强均有增加, 但它们的最强峰高的比值( $R = h_{18}/h_{25} = 0.76$ )保持不变(见图 4 插入图), 说明两相处于平衡状态。它们的总包式为  $\text{Li}_x\text{TiO}_2$ ( $y < 0.6$ )。

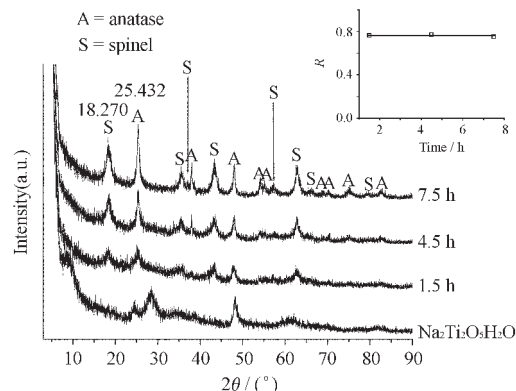


图 4 纳米管钛酸钠及其在熔融  $\text{LiNO}_3$  中不同交换反应时间产物的 XRD 图(插入图: 最强峰高比值  $R$  与交换反应时间  $t$  的关系)

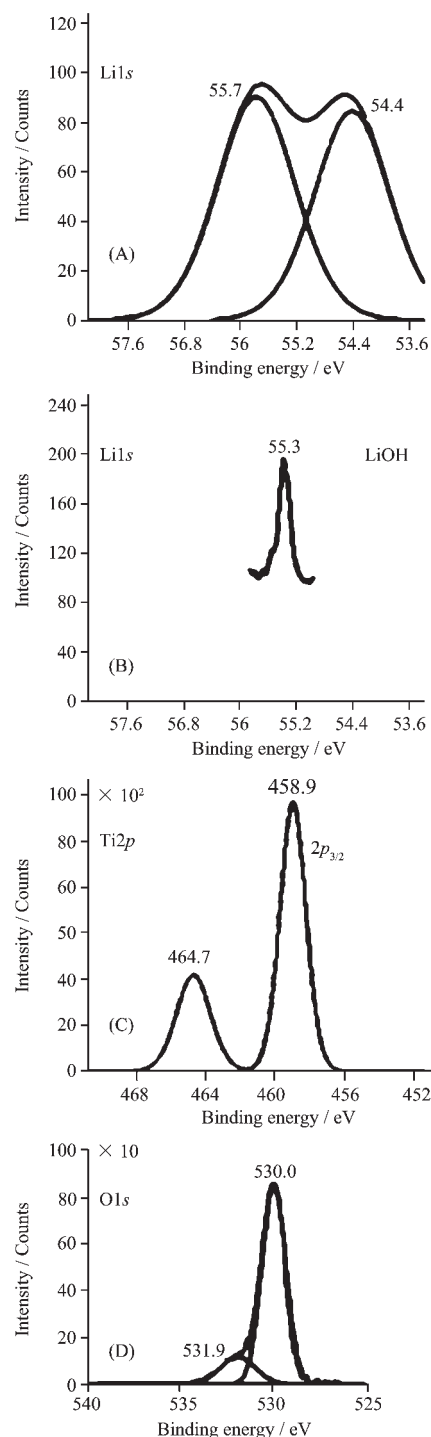
Fig.4 XRD patterns of the nanotube  $\text{Na}_2\text{Ti}_2\text{O}_5 \cdot \text{H}_2\text{O}$  and its ion-exchange products in molten  $\text{LiNO}_3$ (inset: the relationship between  $R$  and  $t$ )

作为电池材料, 要求在放电过程中电极之间的电位保持稳定,Wagemaker 等认为电极中 Li-Ti-O 两相化合物系统, 提供了这样一个电位平台, 正如气-液相通过两相之间的粒子连续交换维持平衡一样, 如果在充电放电过程中只有两相的相对份数(relative phase fractions)的变化, 通过类似交换可维持固态平衡<sup>[23]</sup>。因此, 可以认为锂-钠离子交换产物包含两种不同晶型 Li-Ti-O 化合物相, 对作为电池材料使用时, 可能是有利的。

## 2.3 所得产物中 Li 的化学状态

由于 Li 对 X-光激发的光电截面(photoelectric cross section)小,XPS 信号较弱, 为此, 在测 260 °C 锂-钠交换产物的  $\text{Li}1s$  谱时, 我们加长了对样品的扫描时间, 图 5A 解叠后, 出现 2 个  $\text{Li}1s$  峰,  $E_b$ (结合能)分别为 55.7 和 54.4 eV, 与图 5B 测得的  $\text{LiOH}$  谱比较[ $E_b(\text{Li}1s) = 55.3$  eV], 55.7 和 54.4 eV 应代表  $\text{Li}^+$  离子的两种化学位移状态, 分别归属于尖晶石和锐钛矿结构中的  $\text{Li}^+$ 。这与 Wagemaker,Luca 等用  ${}^7\text{Li}$

MAS NMR 方法鉴定出  $\text{Li}_x\text{TiO}_2$  中存在两种化学位移的  $\text{Li}^+$  结果是一致的<sup>[23, 24]</sup>。图 5C 为  $\text{Ti}2p$  谱,  $E_b(\text{Ti}2p_{3/2}) = 458.9$  eV, Ti 为 +4 价; 图 5D 为  $\text{O}1s$  谱, 解叠后  $E_b$



A:  $\text{Li}1s$  spectrum  
B:  $\text{Li}1s$  spectrum of reference compound  $\text{LiOH}$   
C:  $\text{Ti}2p$  spectrum; D:  $\text{O}1s$  spectrum

图 5 Li-Ti-O 化合物的 XPS 谱

Fig.5 XPS spectra of Li-Ti-O compound

(O1s)=530.0 eV 和 531.9 eV, 分别代表晶格氧(O<sup>2-</sup>)和 OH<sup>-</sup>, 表 1 为纳米管 Na<sub>2</sub>Ti<sub>2</sub>O<sub>5</sub>·H<sub>2</sub>O 在 260 ℃与硝酸锂交换产物的表面相对原子浓度, Na 为零, 这与图 2 的 EDS 分析结果相符。

表 1 纳米管 Na<sub>2</sub>Ti<sub>2</sub>O<sub>5</sub>·H<sub>2</sub>O 与硝酸锂交换产物的表面相对原子浓度

Table 1 Relative surface atomic concentration of Li-Ti-O compound

Surface element	Li	Ti	O	Na
Atomic / %	16.1	15.9	68.0	0.0

## 2.4 所得产物的热性质

图 6A 为 260 ℃锂-钠交换 1.5 h 产物的 TG、DTG 曲线, 在 DTG 曲线上, 出现 2 个失重峰, 64 ℃失重峰为物理吸附水的脱附峰, 失重量为 5.6%, 表明锂-钠交换产物在空气中具有较强的吸水性。为了弄清 495 ℃失重峰的性质, 将交换产物在 500 ℃空气中焙烧 2 h 后再测定其 XRD 图, 图 6B 中 500 ℃处理后样品(b)与处理前(a)相比, 两者的衍射峰位完全相同, 证明 500 ℃处理并未引起晶型改变, 因此, 495 ℃失重峰应为较强的化学吸附水的脱附峰(失重量为 3.0%)。但是 500 ℃处理后样品的衍射峰的相对强度发生变化,  $R(h_{18}/h_{25})$  值为 1.3, 而处理前  $R$

(=h<sub>18</sub>/h<sub>25</sub>) 值为 0.76, 显示出 500 ℃温度处理可以提高尖晶石相的比例。

## 3 结 论

综合上述, 本文报道的通过熔盐离子交换制备 Li<sub>x</sub>TiO<sub>2</sub>(y<0.6)的方法, 具有如下特点:

以 Na<sub>2</sub>Ti<sub>2</sub>O<sub>5</sub>·H<sub>2</sub>O 纳米管为前驱体, 制得的 Li<sub>x</sub>TiO<sub>2</sub> 仍保持纳米管状结构, BET 表面积可达 199 m<sup>2</sup>·g<sup>-1</sup>。

离子交换产物 Li<sub>x</sub>TiO<sub>2</sub> 包含两种不同晶型的相: 立方尖晶石 Li<sub>2</sub>Ti<sub>2</sub>O<sub>4</sub> 相和锐钛矿 Li<sub>x</sub>TiO<sub>2</sub> 相(x<0.1)。

在熔融 LiNO<sub>3</sub> 中, 锂-钠离子交换速度快, 且交换完全。

500 ℃处理可以提高尖晶石相的含量, 改变两种不同晶相之间的比例。

致谢: HRTEM, XPS, DG/DTG 的测试得到郭新勇高工, 李健, 张予东硕士的帮助, 在此表示衷心感谢!

## 参 考 文 献:

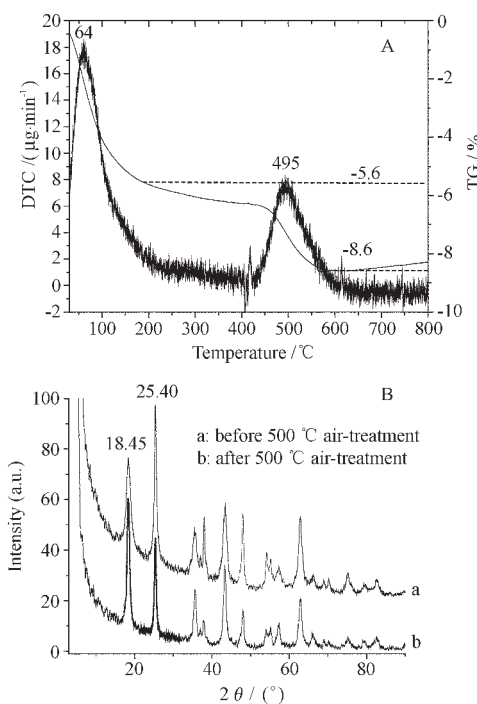


图 6 Li-Ti-O 化合物的 TG, DTG 曲线和在 500 ℃处理前后的 XRD 图

Fig.6 TG/DTG curve(A) of Li-Ti-O compound and its XRD patterns(B)

- [1] Nagaura T, Tozawa K. *Prog. Batteries Solar Cells*, **1990**, *9*: 209~210
- [2] Tarascon J M, Armand M. *Nature*, **2001**, *414*:359~367
- [3] Natarajan C, Setoguchi K, Nogami G, et al. *Electrochim. Acta*, **1998**, *43*:3371~3374
- [4] Duncan G-R. *New Scientist*, London: New Science Publications, March 5, **2005**.256
- [5] Abraham K M. *Electrochim. Acta*, **1993**, *38*:1233~1248
- [6] Auborn J J, Barbero Y L. *J. Electrochem. Soc.*, **1987**, *134*: 638~641
- [7] Huang S Y, Kavan L, Exnar I, et al. *J. Electrochem. Soc.*, **1995**, *142*:L142~L144
- [8] Ohzku T, Takehara Z, Yoshizawa S, et al. *Electrochim. Acta*, **1979**, *24*:219~222
- [9] Bomino F, Busani L, Lazzani M, et al. *J. Power Source*, **1981**, *6*:261~270
- [10] Cava R J, Murphy D W, Zahurak S, et al. *J. Solid State Chem.*, **1984**, *53*:64~75
- [11] Murphy D W, Cava R J, Zahurak S M, et al. *Solid State Ionics*, **1983**, *9~10*:413~417
- [12] Wagemaker M, Rvan de Krol, Kentgens A P M, et al. *J. Am. Chem. Soc.*, **2001**, *123*:11454~11461
- [13] Fattakhova D, Petrykin V, Brus J, et al. *Solid State Ionics*, **2005**, *176*:1877~1885
- [14] Fattakhova D, Krtl P. *J. Electrochem. Soc.*, **2002**, *149*:

A1224~A1229

- [15] Lecerf A. *Ann. Chim. [Paris]*, **1962**, *7*:513~535
- [16] Jiang K, Hu X, Sun H, et al. *Chem. Mater.*, **2004**, *16*:4324~4329
- [17] Li J R, Tang Z L, Zhang Z T, et al. *Electrochem. Commu.*, **2005**, *7*:894~899
- [18] Gao X P, Zhu H Y, Pan G L, et al. *J. Phys. Chem. B*, **2004**, *108*:2868~2872
- [19] Li J R, Tang Z L, Zhang Z T, et al. *Electrochem. Commu.* **2005**, *7*:62~67
- [20] Yang J J, Jin Z S, Wang X D, et al. *Dalton Trans.*, **2003**, *20*:3898~3901
- [21] JCPDS 77-1389
- [22] JCPDS 84-1286
- [23] Wagemaker M, Kentgen A P, Mulder F M, et al. *Nature*, **2002**, *418*:397~399
- [24] Luca V, Hanley T L, Roberts N K, et al. *Chem. Mater.*, **1999**, *11*:2089~2102